

差分法による流体振動の解析方法について

京都大学 正員 岩佐義朗
京都大学 学生員 ○田中伸和

はじめに

流れや波の内部機構の解明のため、実験や実測により流体内部における、水粒子速度、あるいは、圧力分布を知ることは、測定技術の未発達により、現在では、まだ、不可能な場合が多い。そのための技術改良がなされているが、ここでは、水面下の水粒子速度、および、圧力の時間的・場所的变化を、一度に知るため、流体の入った容器を静止状態より、水平方向に、周期的に振動させる非定常問題を考え、この問題を数学モデルにおきかえ、それを数値シミュレーションすることにより、水面下の流れの構造を知ろうとするものである。運動を静止状態より考えることにより、初期条件あるいは、境界条件の与え方の差異による影響をなくすことができ、水面波の発達状態から、碎波に至る過程における、水面下の状態を知ることができる。

従来、このような問題に対しては、完全流体の仮定のもとに解析されているが、その解は、低周波数成分のみから成っているため、高周波の卓越する碎波を取り扱うには、不十分である。そのため、ここでは、差分方程式によって、高周波成分を加味した数値解を得る。したがって、波の発達によって生ずる碎波現象は、差分方程式自身の不安定現象で表わし、数値誤差による解の不安定をなくすため、完全流体の仮定から得られる偏微分方程式、および、非圧縮・粘性流体の一般式であるN-S式の解析方法とその数値解の精度の改良について考察する。^{1),2)}

(I) 完全流体としての取り扱い

1) 基礎方程式

重力のもとで、静止状態より、運動が始まるものと考えると、これは、非回転運動とみなしうる。そのため、速度ポテンシャル ϕ を用いることによって、(Fig-1)のような条件のもとでの、x方向のみの周期変動に対する運動は、次式のように表わされる。

$$① \quad \frac{\partial^2 \phi}{\partial x^2} + \frac{\partial^2 \phi}{\partial y^2} = 0$$

$$② \quad \frac{\partial \phi}{\partial t} = \frac{1}{2} (u^2 + v^2) + g(d + \eta) - a_g \cdot x \sin \omega t, \text{ at } y = d + \eta$$

$$③ \quad \frac{\partial \eta}{\partial t} + u \frac{\partial \eta}{\partial x} = v, \quad \text{at } y = d + \eta$$

$$④ \quad \frac{\partial \phi}{\partial n} = 0, \quad \text{at Wall}$$

ここで、 $u = -\frac{\partial \phi}{\partial x}$, $v = -\frac{\partial \phi}{\partial y}$ は、それぞれ、x, y方向の流速を表わし、②式の右辺第3項は、周期変動によって生ずる外力を表わすものであり、 a_g , ω は定数とする。

また、nは、壁面の法線方向を表わし、gは重力の加速度、dは静止水深を表わす。

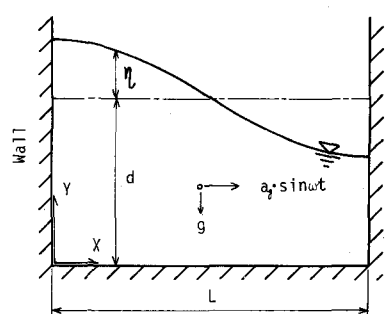


Fig-1 BOUNDARY CONDITION & NOTATIONS USED IN BASIC EQUATIONS

2) 差分方程式

基礎方程式を、高周波成分まで、数値解析するため、それぞれの式の差分化を行ない、それらの解の安定と精度について考察する。

(i) ②式の差分

②式の左辺を前進型差分で近似すると、次式のようになる。

$$⑥ \phi_{sj}^{n+1} = \phi_{sj}^n + \Delta t \cdot [g \cdot (d+\eta) + \frac{1}{2} \left\{ (u_{sj}^n)^2 + (v_{sj}^n)^2 \right\} - a_g \cdot j \cdot \Delta x \cdot \sin \omega t]$$

ここで、添字 n, j は、それぞれ、時刻と距離のステップを表わし s は、水面を表わす。また、 u_{sj}^n, v_{sj}^n は、格子点と水面とが、必ずしも一致しないため、つぎのようにして、外挿する。(Fig-2)

すなわち、完全流体の仮定のため、水面で $\frac{\partial u}{\partial y} = 0$ が成り立つ。そのため、 u_s は水面下の流速より

$$⑦ u_s = \frac{1}{\Delta y \cdot (\Delta y + 2 \cdot \Delta \eta)} \left[(\Delta y + \Delta \eta)^2 \cdot u_1 - \Delta \eta^2 \cdot u_2 \right]$$

で求め、また、 v_s は水面上、および、水面下の速度ポテンシャルを用いて、次式により求める。

$$⑧ v_s = \frac{1}{\Delta y \cdot \Delta \eta \cdot (\Delta y + \Delta \eta)} \left[(\Delta y + \Delta \eta)^2 \phi_1 - \Delta \eta^2 \cdot \phi_2 - \Delta y \cdot (\Delta y + 2 \cdot \Delta \eta) \cdot \phi_s \right]$$

(ii) ③式(双曲型偏微分方程式)の差分

③式の右辺は、近似度と安定性には関係しないため、ここでは、 $v = 0$ の場合について考察する。いま、 u を一定とすると、③式の厳密解は、初期値として、 e^{ikjx} を考えると、次式のようになる。

$$⑨ \eta = \text{EXP}(-i \cdot k \cdot u \cdot t) \cdot \text{EXP}(i \cdot k \cdot x) \quad (k: \text{波数})$$

そのため、時刻が Δt だけ進んだ場合には、次のような関係が成り立つ。

$$⑩ \frac{\eta(t, x)}{\eta(t + \Delta t, x)} = \text{EXP}(i\phi_0) \quad (\phi_0 = -k \cdot u \cdot \Delta t : \text{位相角})$$

また、⑨式の任意の差分方程式に対しても、初期値として、 $e^{ikj\Delta x}$ を考えると、

$$⑪ \frac{\eta_j^n}{\eta_j^{n-1}} = \hat{Q} = |\hat{Q}| \cdot \text{EXP}(i\phi)$$

なる関係が成り立つ。ここで、 $\alpha = u \cdot \Delta t / \Delta x, \theta = k \cdot \Delta x$ を用いると、 $\phi_0 = -\alpha \cdot \theta$ となり、さらに、 $|\hat{Q}|, \phi$ も α 、および、 θ で表わされる。また、添字 n, j は、(i)と同じものを表わす。

したがって、差分方程式の数値解が、もとの微分方程式の厳密解の近似と、なりうるためには、 $|\hat{Q}| \approx 1, \phi \approx \phi_0$ なる関係が成り立つ必要があり、また、差分解が強安定であるためには、⑩式より、 $|\hat{Q}| \leq 1$ でなければならないことがわかる。

そのため、つぎに、通常、双曲型、あるいは、放物型偏微分方程式の差分モデルとして、よく用いられているものの中で、とくに、陽型のものについて、それぞれ、 $|\hat{Q}|^2$ と $\Delta \phi = \phi_0 - \phi$ の大きさを比較するため、その変化を、 α 、あるいは、 θ に対して求めると、(Fig-3~Fig-6)になる。また、それぞれの曲線は、Table-1のような差分モデルを表わす。

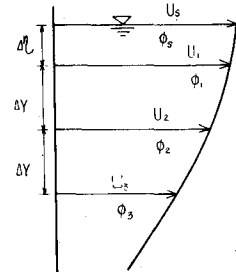


Fig-2 DEFINITION OF VELOCITY AT WATER SURFACE

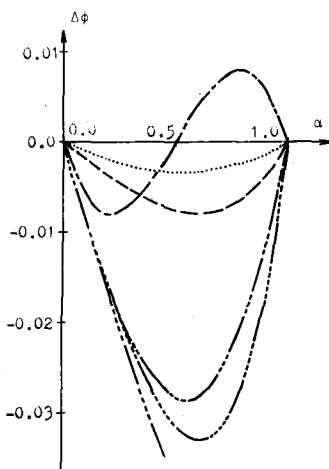


Fig-3 $\theta = 45^\circ$

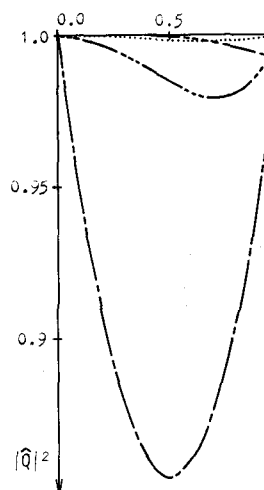


Fig-4 $\theta = 45^\circ$

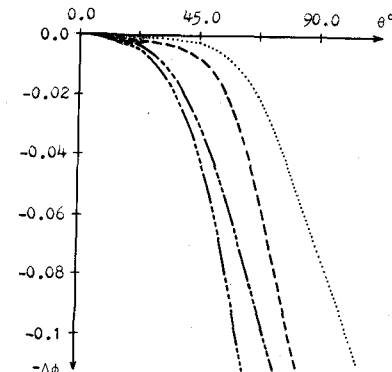


Fig-5 $\alpha = 0.5$

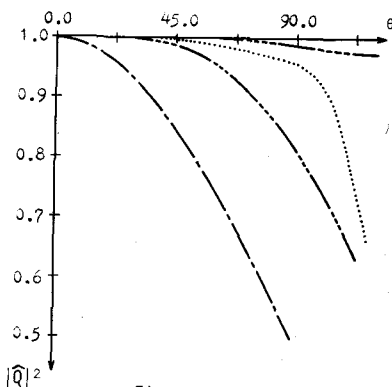


Fig-6 $\alpha = 0.5$

Order	Curve	Scheme
first	—	Exact Solution
	- - -	One Sided
	— - -	Friedrich
	— · —	Lax-Wendroff
second	—	Crowley's Second
	- - -	Leap Frog
	— - -	Crowley's Fourth
	— · —	Roberts Weiss' Fourth
fourth	—	Roberts Weiss' Combined
	···	Fromm's Fourth

Table-1

また、 $\Delta t = 0.1$ 、 $\Delta x = 0.2$ 、 $u = 1.0$ で、初期値として、 $10 \cdot e^{-x^2}$ を与えた場合の、それぞれの差分モデルから得られる数値解は、(Fig-7) のようになる。一般に、 u は一定ではなく、 t 、 x の関数であるので、 $-1 \leq \alpha \leq 1$ になる。そのため、 α の変化に対して、 $|Q̂|^2$ 、 $\Delta\phi$ の値が、それぞれ1、0に近くなる差分モデルが、もっとも近似がよくなる。ここでは、(Fig-3)～(Fig-7)より、⑧式の差分モデルとして、Fromm's fourth order scheme³⁾を用いることにする。

すなわち、

$$\textcircled{8} \quad \eta_j^{n+1} = \eta_j^n - (F_{j+\frac{1}{2}}^n - F_{j-\frac{1}{2}}^n)$$

ただし

$$\begin{aligned} F_{j-\frac{1}{2}}^n &= \alpha_{j-\frac{1}{2}}^n \left\{ A_{11} (\eta_{j-1}^n + \eta_j^n) + A_{21} (\eta_{j-2}^n + \eta_{j+1}^n) \right\} \\ &\quad + (\alpha_{j-\frac{1}{2}}^n)^2 \left\{ A_{12} (\eta_{j-1}^n - \eta_j^n) + A_{22} (\eta_{j-2}^n - \eta_{j+1}^n) \right\} \\ &\quad + (\alpha_{j-\frac{1}{2}}^n)^3 \left\{ A_{13} (\eta_{j-1}^n + \eta_j^n) + A_{23} (\eta_{j-2}^n + \eta_{j+1}^n) \right\} \\ &\quad + (\alpha_{j-\frac{1}{2}}^n)^4 \left\{ A_{14} (\eta_{j-1}^n - \eta_j^n) + A_{24} (\eta_{j-2}^n - \eta_{j+1}^n) \right\} \end{aligned}$$

ここで、

$$A_{11} = -\frac{7}{12}, \quad A_{12} = \frac{15}{24}, \quad A_{13} = -\frac{1}{12}, \quad A_{14} = -\frac{3}{24}$$

$$A_{21} = -\frac{1}{12}, \quad A_{22} = -\frac{1}{24}, \quad A_{23} = \frac{1}{12}, \quad A_{24} = \frac{1}{24}$$

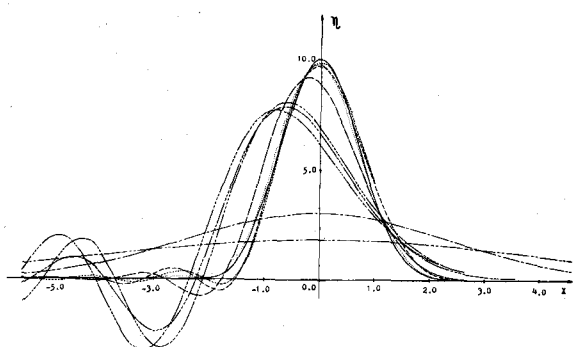


Fig-7 NUMERICAL SOLUTION FOR CONSTANT CONVECTIVE VELOCITY
 $\Delta t = 0.1$, $\Delta x = 0.2$, $u = 1.0$, $T = 50.0$

⑩ ①式(橢円型偏微分方程式)の差分

通常、橢円型偏微分方程式を逐次代入法で解く場合、収束のはやい加速リープマン法が、よく用いられる。すなわち、(Fig-8)のような計算方向をとると、(i,j)格子点での値は、

$$⑫ \quad \phi_{ij}^{(n+1)} = \phi_{ij}^{(n)} + \alpha \left\{ \beta (\phi_{ij+1}^{(n)} + \phi_{ij-1}^{(n)}) + r (\phi_{ij+1}^{(n)} + \phi_{ij-1}^{(n)}) - \phi_{ij}^{(n)} \right\}$$

ここで、
 $\beta = \frac{1}{\Delta x^2 (\frac{2}{\Delta x^2} + \frac{2}{\Delta y^2})}, \quad r = \frac{1}{\Delta y^2 (\frac{2}{\Delta x^2} + \frac{2}{\Delta y^2})}$

で求められる。添字は、i : x 方向のステップ、j : y 方向のステップ、n : 繰返し回数を表わし、αは、1.0 ~ 2.0 の値をとる、加速係数を表わす。

さて、⑫式において、もっとも収束のはやくなるように、αを決定するには、つぎのように考える。

すなわち、いま、 $\Delta x = \Delta y$ として、⑫式の \hat{Q} を求めると

$$⑬ \quad \hat{Q} = \frac{2(1-\alpha) + \alpha e^{i\theta}}{2 - \alpha e^{-i\theta}} \quad (\theta = k \cdot \Delta x)$$

となり、 $|\hat{Q}|^2$ は、つぎのようになる。

$$⑭ \quad |\hat{Q}|^2 = \frac{(\alpha-2)^2 + 4\alpha^2(1-\cos\theta) + \{\alpha^2 + 4\cos\theta(1-\alpha)\}}{(4 + \alpha^2 - 4\alpha\cos\theta)^2}$$

したがって、⑭式より、任意の α に対して、波数 k の成分は、1 回の演算によって、 $1 - |\hat{Q}|^2$ だけ、減衰することが分かる。さらに、α の表わす意味を考えると、これは 2) - (ii) における $\alpha (= \frac{u \cdot \Delta t'}{\Delta x})$ と同様のものとなるため、α を大きくすることは、 $\Delta t'$ を大きくするのと同じになる。

そのため減衰の割合は、 $\alpha(1 - |\hat{Q}|)$ で定義できる。いま、 $0 \leq \theta \leq \pi$ に対して、減衰率を計算すると、(Fig-9) のようになる。この図より、θ が 0 に近くなるに従って、減衰率は、α の 2 の近くで最大値をとることが分かる。このことは、低波数成分、すなわち、波長の長い成分の減衰率は、α を 2 の近くにとることによって、大きくなることを意味する。

そのため、(30, 30) の格子内で、4 辺に 1 を与え、中央で 0 になる①式の解を得るために、許容誤 0.01, $\Delta x = \Delta y = 0.25$, で⑫式を計算すると、(Fig-10) のようになる。 $\alpha = 1.8$ で繰返し回数が最小になり最も収束がはやくなるから、ここでは $\alpha \approx 1.7$ の値を用いて、⑫式の計算を行なうこととする。

⑪ ④式の差分

格子点 (i,j) が、壁面上を表わし、格子点 (i-1,j) が、壁の内部を表わす場合、④式が成り立つためには、 $\phi_{i-1j} = \phi_{i+1j}$ になる。

したがって、⑫式は、壁面上では、つぎのようになる。

$$⑮ \quad \phi_{ij}^{(n+1)} = \phi_{ij}^{(n)} + \alpha \left\{ 2\beta (\phi_{i+1j}^{(n)} + \phi_{ij-1}^{(n)}) + r (\phi_{ij+1}^{(n)} + \phi_{ij-1}^{(n)}) - \phi_{ij}^{(n)} \right\}$$

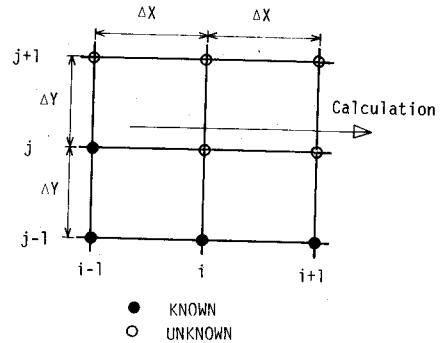


Fig-8 SCHEMA OF eq. (12)

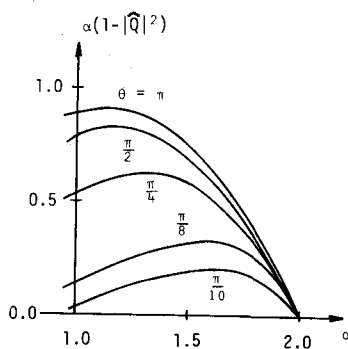


Fig-9 VALIDATION OF $\alpha(1 - |\hat{Q}|^2)$

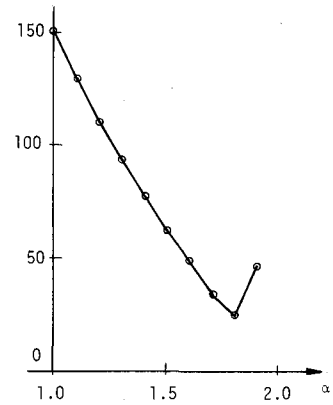


Fig-10 RELATION OF α & n

(II) 非圧縮・粘性流体としての取り扱い

非圧縮・粘性流体の運動は、N-S式で表わされる。ここでは、N-S式の数値解析法であるSUMMAC法⁴⁾を用いて、 x 方向の外力 $F_x = a_g \cdot \sin \omega t$ に対する粘性流体の挙動の解析を行なう。しかし、この差分方程式は、非線型になるため、(I)-(II), (III)で行なった線型安定解析が用いられない。そのため、ここでは、Hirt⁵⁾らが行なったように、打切り誤差を評価することによって、数値解の安定および精度を吟味する。

すなわち、つきのような偏微分方程式を考えると

$$⑩ \frac{\partial u}{\partial t} = \delta \frac{\partial^2 u}{\partial x^2} + \epsilon \frac{\partial u}{\partial x} \quad (\delta, \epsilon: \text{定数})$$

この式の厳密解は、つきのようになる。

$$⑪ u = \sum r_k e^{-\delta k^2 t} e^{ik(x-\epsilon k^2 t)}$$

したがって、⑩式の初期値として、 $x=0$ で対称な関数を考えると、⑩式より、時刻が進むに従い、解は、 $\epsilon > 0$ で、 x の正の方向に、 $\epsilon < 0$ では、負の方向にひずむことが分かる。(Fig-11)

また、(I)-(II)の $\Delta\phi$ は、 $\Delta\phi > 0$ では、 $\phi > \phi_0$ になり、数値解が、もとの微分方程式の解よりも、はやく下流へ伝わるため、数値解は、下流側にひずみ、とくに高周波成分のものが、はやく伝わるため高周波の振動が、下流側に生ずる。 $\Delta\phi < 0$ では、上流側に、その現象が表われる。

さらに、⑩式の δ は、⑩式の減衰(拡散)を表わし、また、⑩式の $|\hat{Q}|$ も、差分方程式の解の減衰を表わす。そのため、(Fig-7)は、 $\Delta\phi$, $|\hat{Q}|$ の影響を表わすことは、(Fig-3)~(Fig-6)より、分かる。

いま、 δ , ϵ が、差分方程式を、差分の中心でテイラー展開した場合の、2次、および、3次の微分項にかかる係数を表わすものとすれば、 δ , ϵ と $|\hat{Q}|$, $\Delta\phi$ とは、つきのように関係づけられる。

$$⑫ |\hat{Q}| < 1 \leftrightarrow \delta > 0, |\hat{Q}| > 1 \leftrightarrow \delta < 0$$

$$⑬ \Delta\phi > 0 \leftrightarrow \epsilon > 0, \Delta\phi < 0 \leftrightarrow \epsilon < 0$$

したがって、一般的な放物型偏微分方程式の差分モデルの解の精度は、 $\delta \approx$ (拡散係数)、 $\epsilon \approx 0$ によって、評価することができるところになる。

そのため、(Table-2)の条件で、一次元拡散式

$$⑭ \frac{\partial c}{\partial t} + \frac{\partial c}{\partial x} = \frac{\partial^2 c}{\partial x^2}$$

の数値解を求めると、(Fig-12)のようになる。すなわち、この図より、 δ , ϵ の大きさによって、差分モデルの解の精度を評価することができる。

この方法を、SUMMAC法に用いて、SUMM

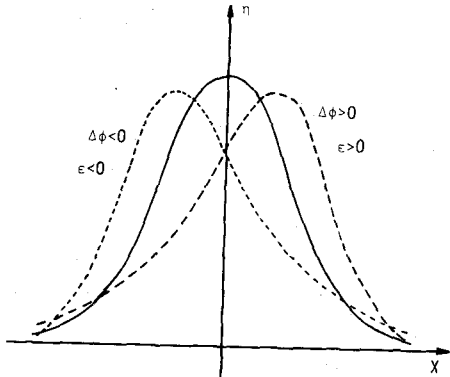


Fig-11 SCHEMATIC EXAMPLE OF NUMERICAL SOLUTION FOR SIGN OF $\Delta\phi$ OR ϵ

Scheme	ΔT	ΔX	δ	ϵ	Curve
Space	0.05	1.0	0.975	-0.116
Center	0.2	1.0	0.9	+0.04	---
One Sided	0.1	1.0	1.45	-0.065	----
One Sided	0.2	1.0	1.4	+0.04	----

Table-2

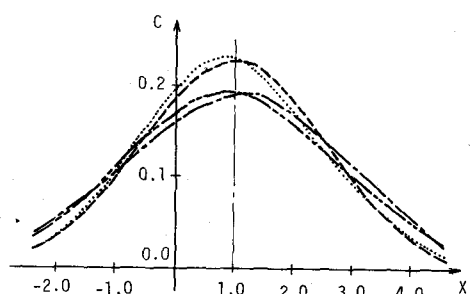


Fig-12 NUMERICAL SOLUTION OF eq. (20) AT $T=1.0$ UNDER INITIAL CONDITION $\exp(-x^2)$

A C 法における δ の値を、 u, v, p の時間に対する変化率が、 x, y 方向に対するものより小さいとして計算すると、 つぎのようになる。

$$\textcircled{2} \quad \delta \approx \nu - \frac{\Delta t}{2} \cdot u^2 \quad (\nu: \text{動粘性係数})$$

したがって、 差分解の精度を向上させるためには、 時間間隔 Δt は、 つぎのよう \propto 。

$$\textcircled{2} \quad \Delta t \ll \frac{2\nu}{u^2}$$

きわめて小さくとる必要がある。

(III) 計算結果と考察

粘性、 および、 微小波長の影響を考察するため、 容器は、 長さ (L) 10cm のものを考え。 静止水深 (d) を、 3.75cm \propto とした。 さらに、 重力の加速度 (g) : 9.8cm/sec^2 、 外力 (F_x) : $9.8 \sin 5\pi t \text{cm/sec}^2$ \propto とった 1 例を、 (Fig-13) - (15) \propto 示す。 ここで (Fig-13) は完全流体としての解であり、 (Fig-14, 15) は、

S U M M A C 法による解である。

これらの図は、 まだ、 破壊に至っていないけれど、 (Fig-13) より、 壁面付近で、 高周波の波が表われているため、 以後、 これが発達するものと考えられる。

なお、 計算は、 すべて、 京大型計算機センターの F A C O M 230-75 を用い、 演算時間は 15 分以上かかった。

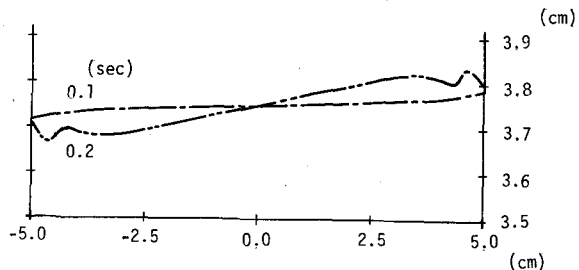


Fig-13 SPACE-TIME VARIATION OF SURFACE ELEVATION RESULTED BY PERFECT LIQUID

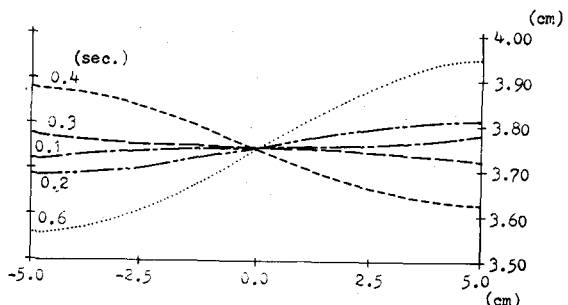


Fig-14 SPACE-TIME VARIATION OF SURFACE ELEVATION RESULTED BY MAC-METHOD

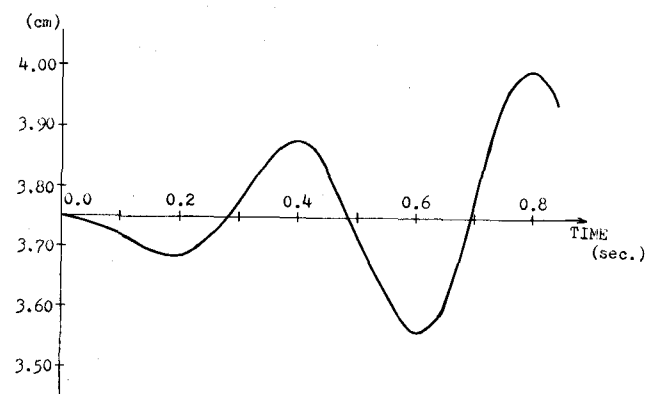


Fig-15 TIME VARIATION OF SURFACE ELEVATION AT LEFT WALL

$$\begin{aligned} \Delta T &= 0.01(\text{sec}), \Delta X = 0.2(\text{cm}), \Delta Y = 0.2(\text{cm}), \nu = 0.01(\text{cm}^2/\text{s}) \\ g &= 980.0(\text{cm/sec}^2), F_x = 9.8 \cdot \sin 5\pi T(\text{cm/sec}^2) \end{aligned}$$

参考文献

- 1) 岸 力：海岸堤防に関する研究(2) 土木研究所報告、昭和 30 年 3 月
- 2) 合田・柿崎：有限振幅重複波およびその波压に関する研究、港湾技術研究所報告、1966 年 6 月
- 3) Fromm, J.E. : Practical Investigation of Convective Difference Approximations of Reduced Dispersion, The Physics of Fluids, Supplement II, 1969
- 4) Chan, R.K.C. 他 : Computer Studies of Finite-Amplitude Water Waves, Stanford Uni., No104, 1969
- 5) Hirt, C.W. : Heuristic Stability Theory for Finite Difference Equations, Jour. Computational Physics, 2, 339, 1968